

บทที่ 4

วิธีการดำเนินการวิจัย

1. ขั้นตอนในการดำเนินการวิจัย

1.1 ขั้นตอนแรกจะเริ่มจากการสร้าง แบบจำลองการไหลของอากาศภายในชาร์ดคิสก์-ไคร์ฟ ที่แตกต่างกัน 2 แบบจำลอง โดยมีรายละเอียดดังนี้

- แบบจำลองที่หัวอ่านอยู่ที่ตำแหน่งด้านในของแผ่นคิสก์
- แบบจำลองที่หัวอ่านอยู่ที่ตำแหน่งด้านนอกของแผ่นคิสก์

ขั้นตอนนี้จะสร้าง แบบจำลองด้วยโปรแกรมสำหรับ GAMBIT ซึ่งเป็น โปรแกรมคอมพิวเตอร์ที่ใช้สำหรับสร้างรูปทรงต่างๆ ของแบบจำลอง แบ่งอิลิเมน์ท และกำหนด ชนิดของ

อิลิเมน์ท ก่อนที่จะแปลงเป็นไฟล์ข้อมูลในรูปแบบต่างๆ เพื่อที่จะส่งต่อไปยังโปรแกรมที่ใช้ในการคำนวณ เช่น โปรแกรมสำหรับ FLUENT เป็นต้น

ต่อจากนี้น้ำทำการคำนวณผลด้วยโปรแกรมสำหรับ GAMBIT ซึ่งเป็น โปรแกรม คอมพิวเตอร์ที่ใช้ในการคำนวณเกี่ยวกับการไหล ของของไหล ซึ่งสามารถใช้กับแบบจำลองของ ของไหลที่มีสมบัติ ทางกายภาพได้หลายแบบ เช่น ของไหลที่สามารถอัดตัวได้และไม่สามารถ อัดตัวได้ ของไหลที่มีความหนืดและไม่หนืด ของไหลที่ ไหลแบบรูบเรียงและแบบปั่นป่วน เป็นต้น โปรแกรม FLUENT ช่วยให้วิศวกรจำลองการไหล การถ่ายเทมวลและพลังงาน และส่วนที่เกี่ยวของ กับปรากฏการณ์ไหล เช่น การไหลแบบปั่นป่วนการเกิดปฏิกิริยา และการไหลของของไหล หลายสถานะ ซึ่งเราจะทำการศึกษาถึง ความดัน ความเร็ว และเส้นทางการไหลของอากาศภายใน

ชาร์ดคิสก์ไคร์ฟ แล้วนำค่าที่ได้มาเปรียบเทียบกับงานวิจัยที่เคยมีผู้ทำงานแล้วเพื่อ ตรวจสอบความถูกต้องของแบบจำลอง แล้วทำการคำนวณโดยใช้แบบจำลองการไหลที่เขียนกับเวลา หรือ Large Eddy Simulation (LES) Turbulence model ในการทำสัมประสิทธิ์ของแรงที่กระทำต่อ ของหัวอ่าน/เขียนที่เกิดขึ้นจากการไหลของอากาศ แล้วบันทึกค่าสัมประสิทธิ์แรงยกที่ได้เพื่อนำมาวิเคราะห์การสั่นสะเทือนต่อไป

1.2 สร้างแบบจำลองการสั่นสะเทือนของหัวอ่าน/เขียน ด้วยโปรแกรมสำหรับ GAMBIT ANSYS ซึ่งเป็น โปรแกรมคอมพิวเตอร์ ที่ใช้ในการคำนวณเกี่ยวกับระบบเบียนวิธีทางไฟฟ้าที่อิลิเมน์ท โปรแกรม ANSYS นี้สามารถใช้ในการสร้างแบบจำลองทางวิศวกรรมได้หลายด้าน เช่น การวิเคราะห์โครงสร้าง, การวิเคราะห์ความร้อน, การวิเคราะห์การไหล, การวิเคราะห์ การสั่นสะเทือน

รวมถึง การวิเคราะห์ทางด้านไฟฟ้าและอิเล็กทรอนิกส์ โดยที่ผู้ใช้สามารถที่จะทำการวิเคราะห์ปัญหาที่มีความสัมพันธ์เกี่ยวนี้อยู่กันระหว่างแต่ละด้านของงานเชิงวิศวกรรมได้ เช่น การวิเคราะห์ด้านความร้อนที่มีผลต่อ โครงสร้าง หรือ การวิเคราะห์ความร้อนที่เกิดขึ้นจากการทำงานของอุปกรณ์ทางไฟฟ้าได้

ต่อจากนี้จะมีการศึกษาความถี่ธรรมชาติของหัวอ่าน/เขียนข้อมูล และนำความถี่ธรรมชาติของแบบจำลองที่ได้มาเปรียบเทียบกับความถี่ธรรมชาติของชิ้นงานจริงที่ได้จากการวัดโดยเครื่อง LDV (Laser Dropper Vibrometer) ซึ่งเป็นเครื่องมือวัดที่ใช้สำหรับวัด ความถี่ในการสั่นสะเทือน, ความเร็ว และระยะทางในการเคลื่อนที่ ด้วยวิธี ที่ไม่มีการสัมผัสกับวัตถุที่ถูกวัด เครื่อง Laser Dropper Vibrometer จะใช้ ลำแสง เลเซอร์ เป็นตัววัดสัญญาณ โดยที่เครื่องนี้สามารถที่จะวัดความถี่ในการสั่นสะเทือนได้ตั้งแต่ ความถี่ต่ำที่มีค่าเข้าใกล้ 0 Hz จนถึง 24 MHz และสามารถวัดระยะทางได้ในหน่วย เล็กๆ เช่น นาโนเมตร ไปจนถึง หน่วยเมตร

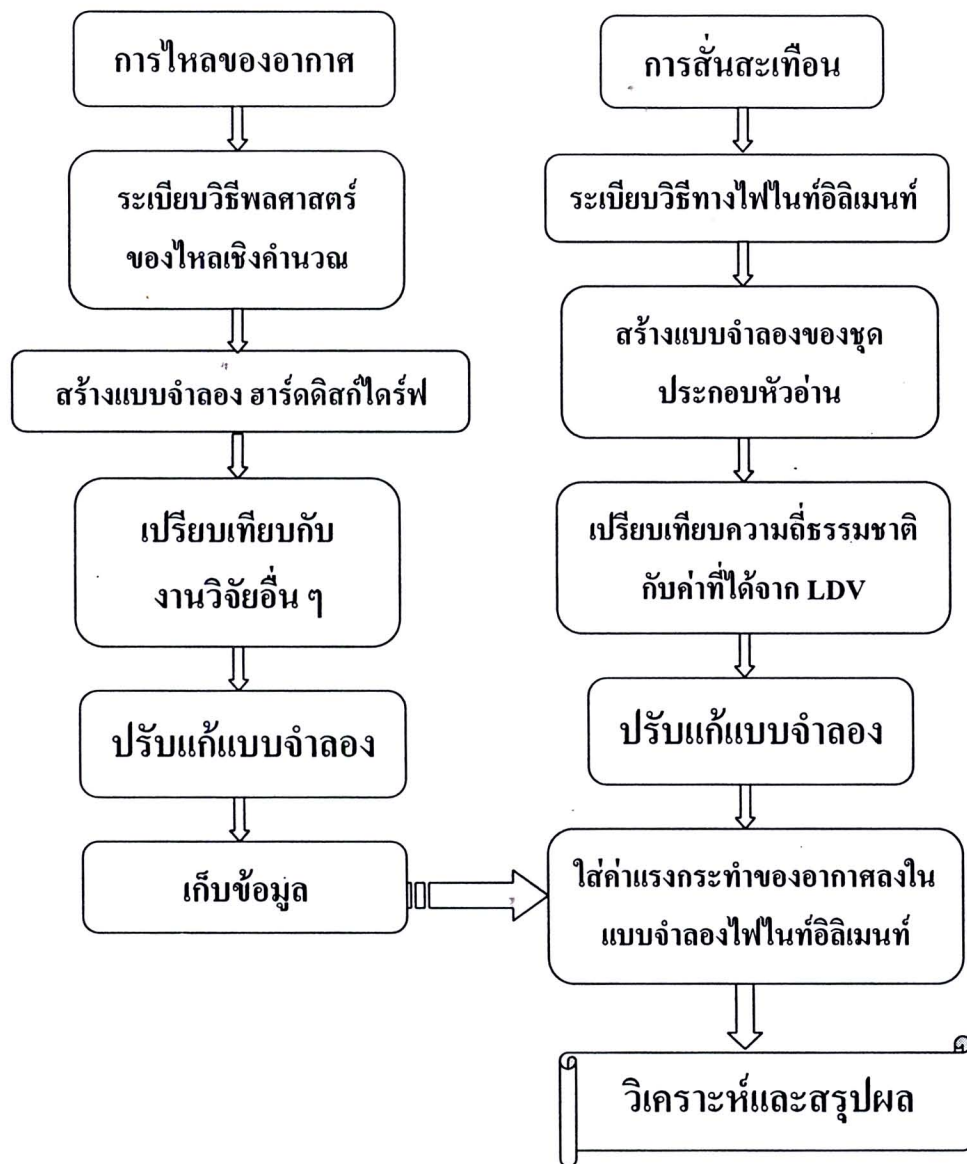
1.3 กำหนดค่าของแรงที่ได้จากแบบจำลองการไหลดของอากาศ ลงในแบบจำลองของการสั่นสะเทือนซึ่งเราสามารถแบ่งรูปแบบการไหลดของอากาศออกได้สองชุด โดยใช้ค่าแรงยก 2 ชุด ที่ได้จากแบบจำลองการไหลดคือ 1) ตำแหน่งของหัวอ่านล่างสุดและบนสุด 2) ตำแหน่งของหัวอ่านส่วนกลาง เมื่อหัวอ่านอยู่ที่ตำแหน่ง ด้านในของแผ่นดิสก์เนื่องจากการศึกษางานวิจัยที่ผ่านมา แสดงให้เห็นว่าผลกระทบในการสั่นสะเทือนที่ตำแหน่งของหัวอ่านที่อยู่ด้านใน มีผลกระทบมากกว่าอย่างชัดเจน

1.4 ศึกษาการสั่นสะเทือนของหัวอ่านในแนวสูงต่ำ (หรือ fly-high) ที่ได้จากแบบจำลองการสั่นสะเทือน

1.5 สรุปผลการวิจัย



เราสามารถแสดงแผนผังการดำเนินงานได้ดังนี้



ภาพที่ 26 แสดงแผนผังการดำเนินการวิจัย

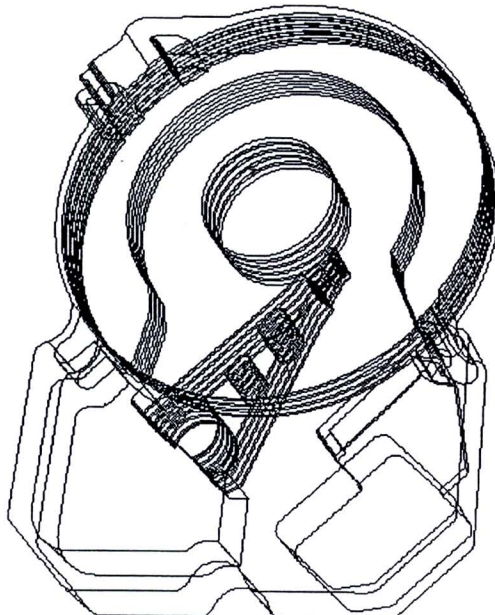
2. การศึกษาการให้ผลของอากาศด้วยวิธีพลศาสตร์ของไอลเซิงคำนวณ

2.1 การสร้างแบบจำลองการไหลของอากาศภายในอาร์ดดิสก์ไดร์ฟด้วยโปรแกรมสำเร็จรูป GAMBIT

การวิจัยนี้ได้ทำการสร้างโมเดลจำลองการไหลของอากาศภายในชาร์คคิดสก์ไครร์ฟขนาด 3.5 นิว แบบ 10 หัวอ่านเพียงข้อมูล ด้วยโปรแกรมสำเร็จรูป GAMBIT โดยอ้างอิงถึงขนาดชาร์คคิดสก์ไครร์ฟเท่ากับขนาดชาร์คคิดสก์ไครร์ฟที่มีขายจริงตามห้องทดลอง การสร้างแบบจำลอง

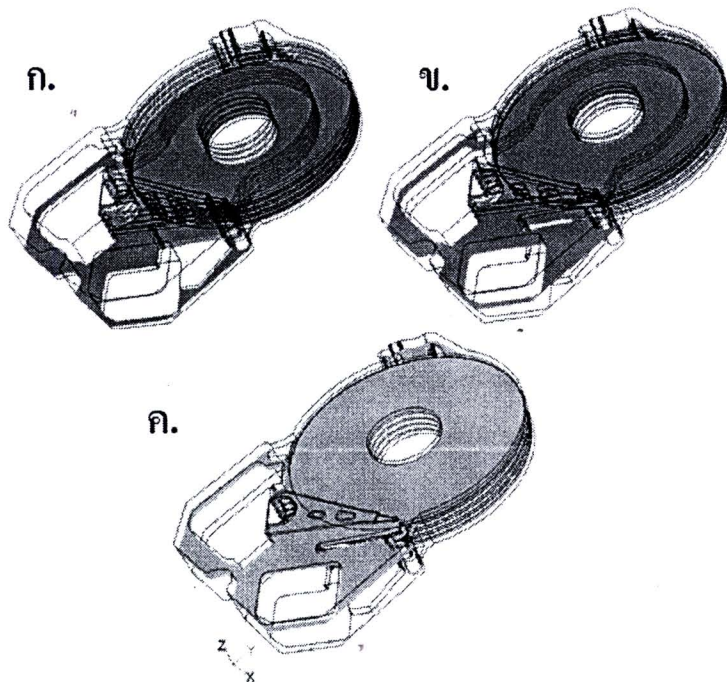
การไฟทนีสร้างขึ้นจากการกำหนดจุดพิกัดในตำแหน่งต่างๆของตัวหารดีสก์ไดร์ฟแล้วทำการวัดเส้นเพื่อเชื่อมต่อจุด เพื่อให้เป็นรูปทรง 3-มิติ ดังแสดงในภาพที่ 27

เมื่อทำการสร้างส่วนประกอบต่างๆ ภายในตัวชาร์ดคิดสก์ไดร์ฟเรียบร้อยแล้วจะต้องทำการสร้างปริมาตรของอากาศโดยการนำเอาปริมาตรของส่วนประกอบต่างๆ เช่น แผ่นมีเดียมะประgonหัวอ่าน/เขียน ตัวกันอากาศ (Air shroud) และแม่เหล็ก ไปหักออกจากปริมาตรของอากาศภายในชาร์ดคิดสก์ไดร์ฟ จนนั้นจะได้ปริมาตรของอากาศโดยมีปริมาตรของอุปกรณ์ต่างๆ ภายในชาร์ดคิดสก์ไดร์ฟเป็นเส้นผ่าศูนย์กลางที่อยู่กับที่ (Wall) เป็นตัวสำคัญในการให้ลูกของอากาศภายในชาร์ดคิดสก์ไดร์ฟ



ภาพที่ 27 เค้าโครงลายเส้นของแบบจำลองฮาร์ดดิสก์ไดร์ฟ

ซึ่งการไอลของอากาศภายในชาร์ดดิสก์ไดร์ฟ แบบ 10 หัวอ่าน/เขียนนี้ เราจะแยก การพิจารณาฐานรูปแบบการไอลของอากาศเป็นสามรูปแบบ คือ รูปแบบแรกคือ การไอลของอากาศที่ไอลผ่านหัวอ่าน/เขียนตัวล่างสุดของชาร์ดดิสก์ไดร์ฟซึ่งเป็นหัวอ่าน/เขียนที่ไม่มีตัวกั้นอากาศ รูปแบบที่สองคือ การไอลของอากาศที่ไอลผ่านหัวอ่านตัวระหงนกลางซึ่งเป็นหัวอ่าน/เขียนที่มีตัว กั้นอากาศ และมีอิทธิพลของแผ่นที่อยู่ติดกันเพิ่มขึ้นมา รูปแบบแรกคือ การไอลของอากาศที่ไอล ผ่านหัวอ่าน/เขียนตัวบนสุด ซึ่งจะมีลักษณะคล้ายกับหัวอ่าน/เขียนตัวที่อยู่ล่างสุด



ภาพที่ 28 ก., ข., ค. แสดงภาพตัดของระนาบของหัวอ่านด้านล่างสุด หัวอ่านตรงกลาง และหัวอ่าน ตัวบนสุด ตามลำดับ

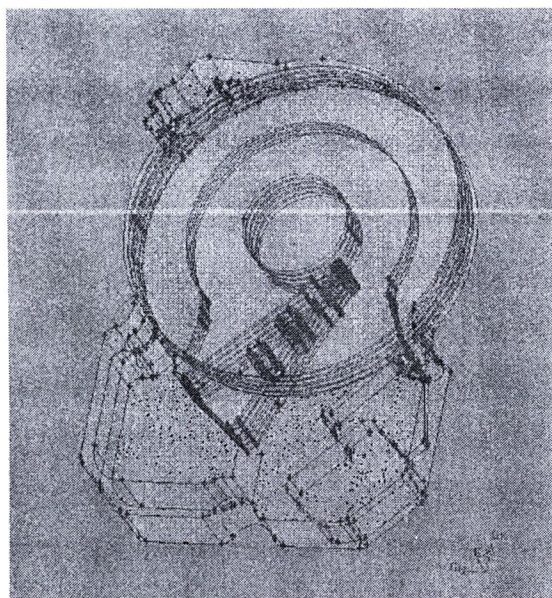
2.2 การกำหนดเมช (Mesh) ของแบบจำลองการไอลของอากาศ

การวิจัยนี้ได้ทำการกำหนดขนาดของเมชขึ้นมาสามค่า และทำการหาขนาดของ เมชที่เหมาะสมโดยการเปรียบเทียบผลการคำนวณของเมชแต่ละขนาด คือ 0.021, 0.023, 0.025 นิ้ว พบว่า เมื่อขนาดของเมชมีขนาดเท่ากับ 0.021 นิ้ว ค่าของข้อมูลที่ได้ไม่ต่างจากค่าของข้อมูลที่ได้จาก เมชขนาด 0.023 นิ้วเลย แต่เมชขนาด 0.025 นิ้ว ไม่สามารถใช้ได้ เพราะขนาดของเมชมีขนาดใหญ่ กว่าช่องว่างของอากาศในส่วนที่ควบคุมภายในชาร์ดดิสก์ไดร์ฟ ดังนั้น ขนาดของเมชที่เหมาะสม ที่สุดคือ ขนาด 0.023 นิ้ว เพราะขนาดของเมชที่ใหญ่กว่าจะใช้เวลาในการคำนวณที่น้อยกว่า โดยมี

รายละเอียดดังตารางที่ 3 โดยที่มีจำนวนอิลิเมนต์ทั้งหมดประมาณ 2,500,000 อิลิเมนต์ และหลังจากทำการmeshแบบจำลองทั้งหมดแล้วจะได้แบบจำลองดังแสดงในภาพที่ 29

ตารางที่ 3 แสดงรายละเอียดของmesh

หัวข้อ	การกำหนด
ขนาดของmesh (นิว)	0.023,0.01(Head)
อิลิเมนต์	Tetrahedral
ชนิดของอิลิเมนต์	Tgrid



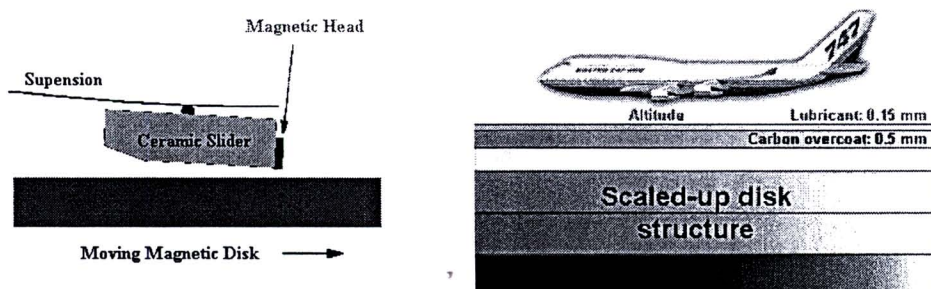
ภาพที่ 29 แสดงแบบจำลองการไอลของอากาศที่ทำการmeshแล้ว

2.3 การกำหนดขอบเขตสภาพเงื่อนไขของแบบจำลองการไอลของอากาศ

การวิจัยนี้ได้กำหนดขอบเขตสภาพ ให้พิวของอุปกรณ์ภายในหาร์ดดิสก์ไดร์ฟ ทุกชิ้น มีสถานะเป็นผนัง ยกเว้นพิวของแผ่นมีเดีย ที่จะถูกกำหนดให้มีสถานะเป็นผนังเคลื่อนที่ โดยมุนด้วยความเร็วรอบเท่ากับ 7200 รอบต่อนาที โดยจะทำการศึกษาลึกลงการไอลของอากาศภายในหาร์ดดิสก์ไดร์ฟที่ตำแหน่งของหัวอ่าน/เขียนอยู่ในตำแหน่งที่แตกต่างกัน 2 ตำแหน่ง คือ ตำแหน่งด้านนอกของแผ่นมีเดีย และตำแหน่งด้านในของแผ่นมีเดีย

การกำหนดขอบเขตสภาวะเงื่อนไขของแบบจำลองการไหลของอากาศนี้จะทำโดยโปรแกรมวิเคราะห์การไหลของอากาศสำเร็จรูป Fluent แล้วทำการวิเคราะห์ผล โดยในเบื้องต้น จะใช้แบบจำลองการไหลแบบปั่นป่วน RNG K-epsilon เพื่อคุณภาพแบบการไหลวน และค่าของความดัน และความเร็ว เพื่อตรวจสอบความเหมาะสมของแบบจำลองที่ใช้ ซึ่งเราจะตรวจสอบแบบจำลองได้โดยการเปรียบเทียบกับงานวิจัยที่เคยศึกษามาก่อนหน้า

เนื่องจากงานวิจัยนี้ต้องการศึกษาเกี่ยวกับผลกระทบของการไหลของอากาศ ที่ส่งผลต่อการลอยตัวของหัวอ่าน/เขียนข้อมูลในฮาร์ดดิสก์ไดร์ฟดังภาพที่ 30 ดังนั้นเราจึงสนใจเพียงผลกระทบของแรงยก (Lift force) ที่กระทำกับหัวอ่าน/เขียนข้อมูลเท่านั้น ทั้งนี้ก็เนื่องมาจากการลอยตัวของหัวอ่าน/เขียนข้อมูลอยู่ที่ตำแหน่งด้านนอกของแผ่นมีเดีย (OD) แรงกระทำที่เกิดจากการไหลของอากาศจะจะมีผลให้เกิดการสั่นสะเทือนน้อยกว่าขณะหัวอ่าน/เขียนข้อมูลอยู่ที่ตำแหน่งด้านในของแผ่นมีเดีย (ID)



Lift force >> Drag force

ภาพที่ 30 แสดงภาพการลอยตัวของหัวอ่าน/เขียน

ดังนั้นเราจะทำการวิเคราะห์ผลของแรงยกที่เกิดจากผลกระทบของการไหลของอากาศ ขณะที่หัวอ่าน/เขียนข้อมูลอยู่ด้านในของแผ่นมีเดียด้วยแบบจำลองการไหลที่ขึ้นกับเวลา หรือ Large- Eddy Simulation (LES) Turbulence model ดังมีรายละเอียดการกำหนดคุณสมบัติต่างๆ ดังแสดงในตารางที่ 4

ตารางที่ 4 แสดงค่าการกำหนดเงื่อนไขต่างๆที่ใช้คำนวณในโปรแกรม FLUENT

หัวข้อ	การกำหนด
Solver	Segregated
Formulation	Implicit
Time	Unsteady
Unsteady Formulation	2 nd -Order Implicit
Turbulence Model	Large Eddy Simulation, LES
Sub-grid Scale Model	Smagorinsky – Lilly
Pressure – Velocity Coupling	SIMPLEC
Discretization	Low Diffusion Second Order
Convergence Criteria	1.00E-6
Time Step Size (s)	8.00E-6
Total Time Steps	32000 Time Steps (0.25 sec, 15 revolution)

2.4 ผลที่ได้จากแบบจำลอง

ผลที่ได้จากแบบจำลองความปั่นป่วน Large Eddy Simulation (LES) Turbulence model จะแสดงให้ทราบถึงค่า สัมประสิทธิ์ของแรงยกที่เกิดขึ้นจากการไหลของอากาศภายในชาร์ดิสก์ไคร์ฟ และสามารถเปลี่ยนให้อยู่ในรูปของแรงยกที่ขึ้นกับเวลาได้ ต่อจากนั้นแรงยกที่ขึ้นกับเวลานี้จะถูกนำไปใช้เป็นเงื่อนไขของอนุเบตเพื่อวิเคราะห์ในเรื่องของการสั่นสะเทือนของชุดประกอบขาหัวอ่าน/เขียนข้อมูลในชาร์ดิสก์ไคร์ฟต่อไป

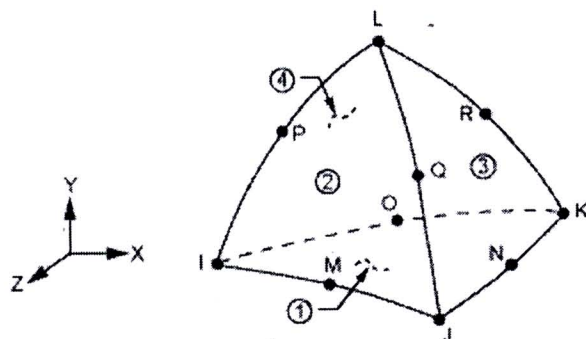
3. การศึกษาการสั่นสะเทือนด้วยวิธีทางไฟฟ้าในตัวอิเล็กทรอนิกส์

3.1 การสร้างแบบจำลองการสั่นสะเทือนของชุดประกอบหัวอ่าน/เขียน (HSA)

แบบจำลองการสั่นสะเทือนของหัวอ่าน ในงานวิจัยนี้ ได้ถูกสร้างขึ้น โดยการใช้โปรแกรมสำเร็จรูป ANSYS ซึ่งจะมีส่วนประกอบดังนี้คือส่วนของแขนหัวอ่าน (Arm), ส่วนของ Suspension, สายไฟ, คลาวด์ และหัวอ่าน/เขียน (Slider) และจะไปประกอบกันเป็น ชุดประกอบหัวอ่าน/เขียนข้อมูลแบบ 10 หัวอ่าน/เขียนข้อมูล

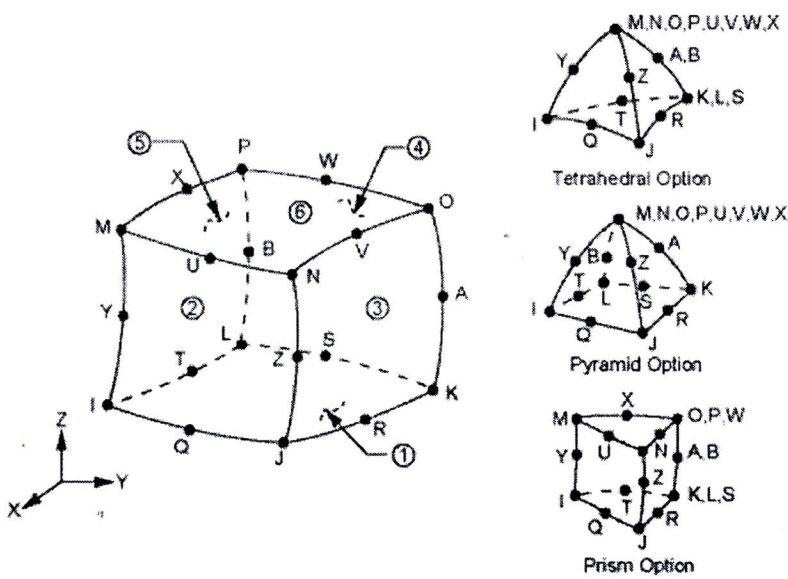
3.2 การกำหนดชนิดอิเล็กทรอนิกส์และการสร้างเมช

งานวิจัยนี้ ได้ใช้ชนิดอิเล็กทรอนิกส์ส่วนใหญ่เป็น อิเล็กทรอนิกส์ ชนิด Solid 187 ซึ่งเป็น อิเล็กทรอนิกส์ชนิด 3 มิติ รูปทรงกรวยสามเหลี่ยม (Tetrahedral) มีจุดเชื่อมต่อ (node) 10 จุดเชื่อมต่อ จะมี การเคลื่อนที่ทั้งหมด 3 องศาอิสระ คือการเคลื่อนที่ในแนวแกน X, (UX), การเคลื่อนที่ในแนวแกน Y, (UY), และการเคลื่อนที่ใน แนวแกน Z, (UZ)



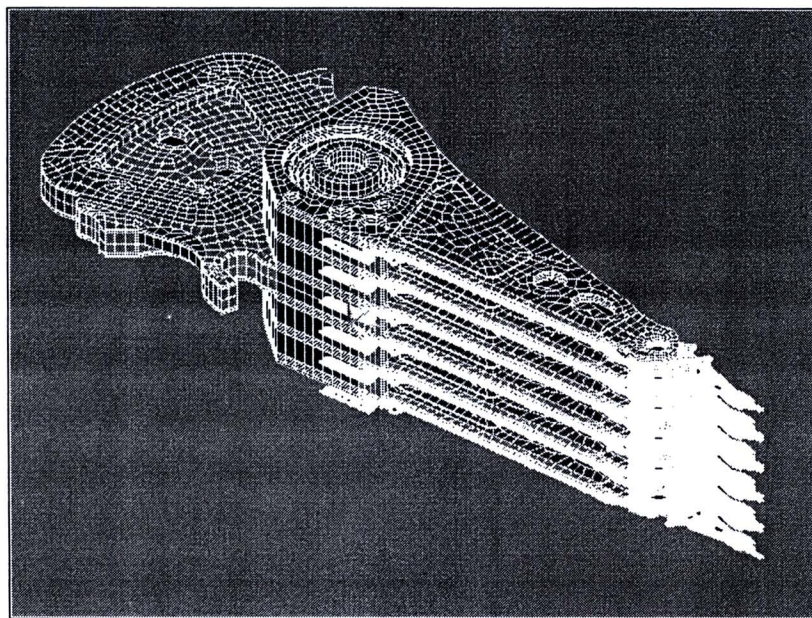
ภาพที่ 31 อิเล็กทรอนิกส์ ชนิด Solid 187

ส่วนอิเล็กทรอนิกส์ชนิดหนึ่งคือ Solid 186 อิเล็กทรอนิกส์ชนิดนี้เป็นอิเล็กทรอนิกส์แบบ 3 มิติ มีรูปทรงได้หก角หลายรูปทรง เช่น รูปทรงลูกบาศก์ จะมีจุดต่อ 20 จุดต่อ รูปทรงกรวยสามเหลี่ยม, รูปทรงพีระมิด, รูปทรงปริซึม แต่ละจุดต่อจะมีการเคลื่อนที่ทั้งหมด 3 องศาอิสระ คือการเคลื่อนที่ในแนวแกน X, (UX), การเคลื่อนที่ในแนวแกน Y, (UY), และการเคลื่อนที่ใน แนวแกน Z, (UZ)



ภาพที่ 32 อลิเมนต์ ชนิด Solid 186

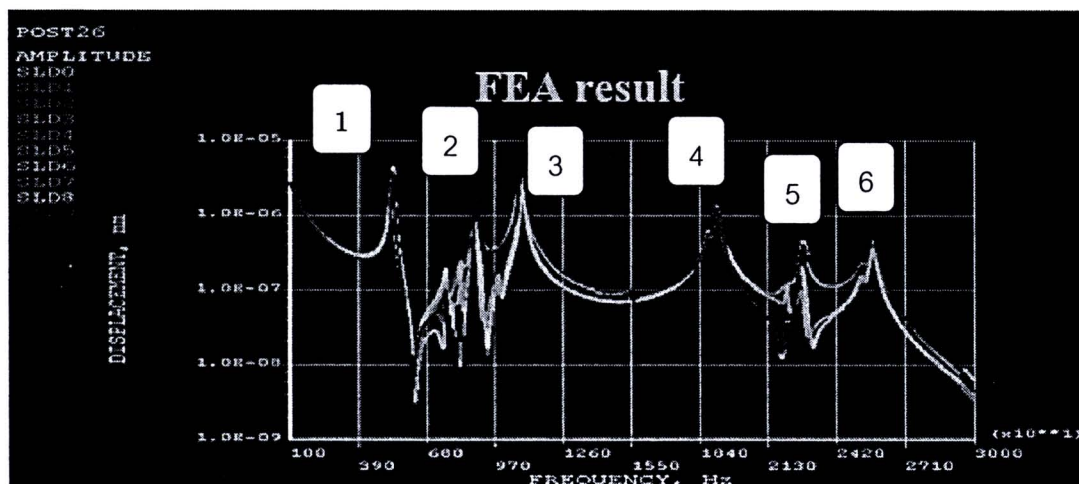
ซึ่งหลังจากที่ทำการmeshแล้วจะมีการตรวจสอบความเหมาะสมของแบบจำลองโดยการนำความถี่ธรรมชาติของแบบจำลองมาเปรียบเทียบกับค่าที่วัดได้จากชิ้นงานจริงโดยเครื่อง Laser Doppler Vibrometer แล้วทำการปรับแต่งอลิเมนต์จนกว่าจะมีค่าใกล้เคียงกับชิ้นงานจริง จะได้จำนวนอลิเมนต์ที่เหมาะสมคือ 650,000 อลิเมนต์ ดังแสดงในภาพที่ 33



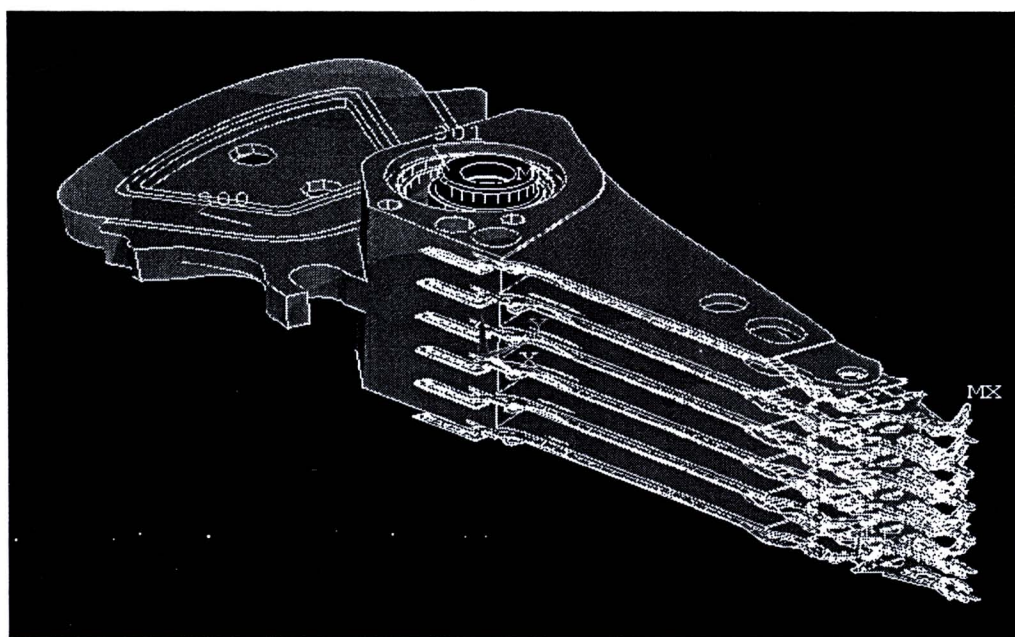
ภาพที่ 33 หัวอ่านที่ทำการmeshแล้ว

3.3 การหาความถี่ธรรมชาติของหัวอ่าน

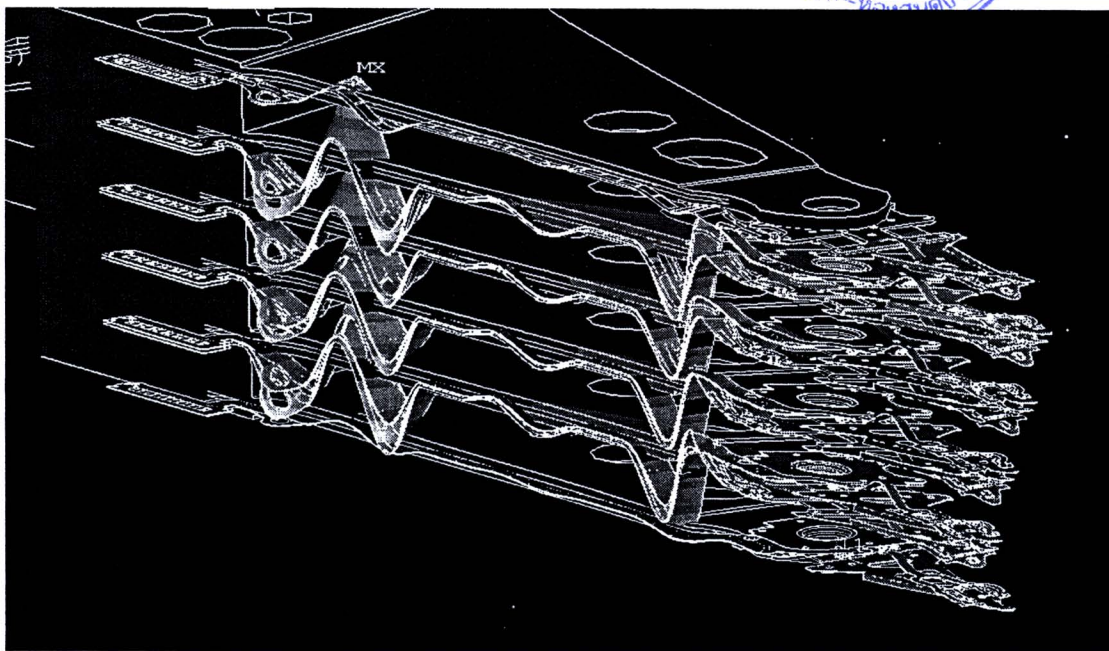
ความถี่ธรรมชาติของแบบจำลองของชุดประกอบหัวอ่าน/เขียนที่ได้จะมีจำนวนมากน้อยหลายโหนด แต่ความถี่ธรรมชาติที่แสดงให้เห็นอย่างชัดเจนจะมีอยู่ด้วยกันอยู่หกโหนดหลักๆ ซึ่งความถี่ธรรมชาติ 6 โหนด หลัก ๆ จะถูกแสดงค่าออกมาเป็นกราฟของ Bode ดังแสดงในภาพที่ 34-40



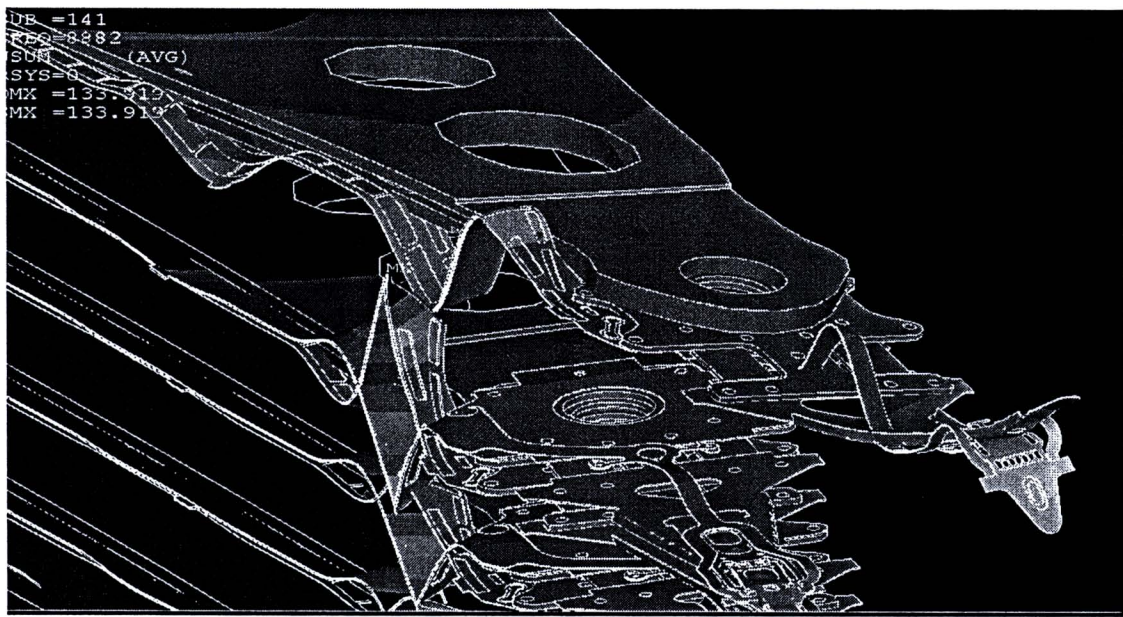
ภาพที่ 34 แสดงกราฟของ bode ของการสั่นสะเทือนของโโนเดล



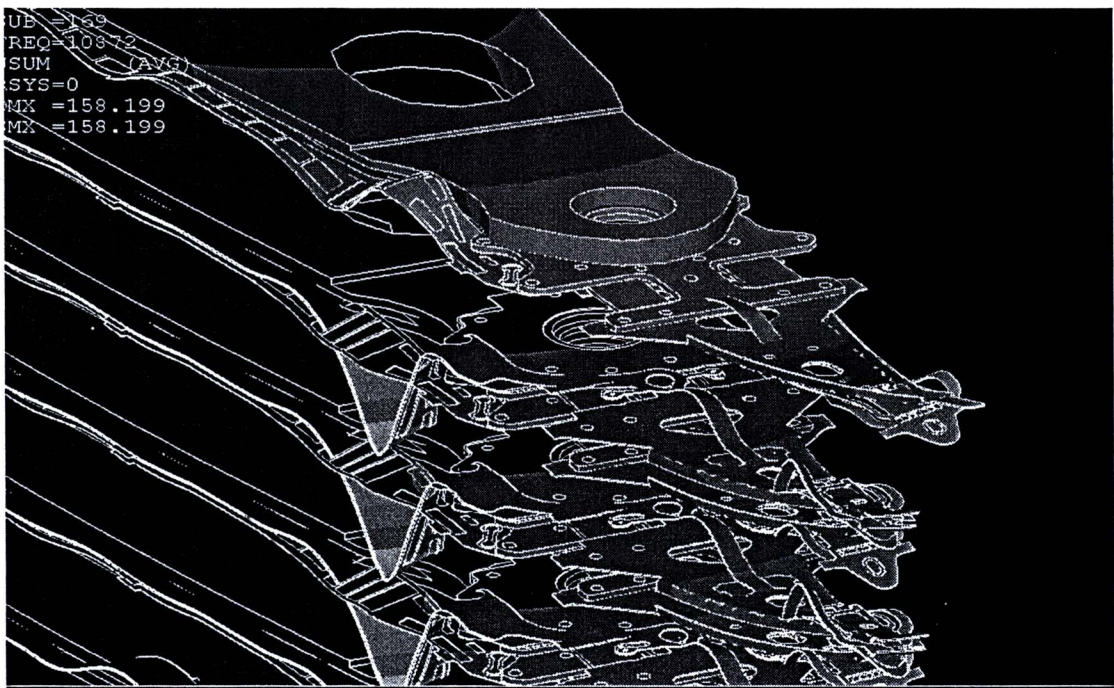
ภาพที่ 35 โโนเดล HSA 1st System mode Frequency 5.356 kHz



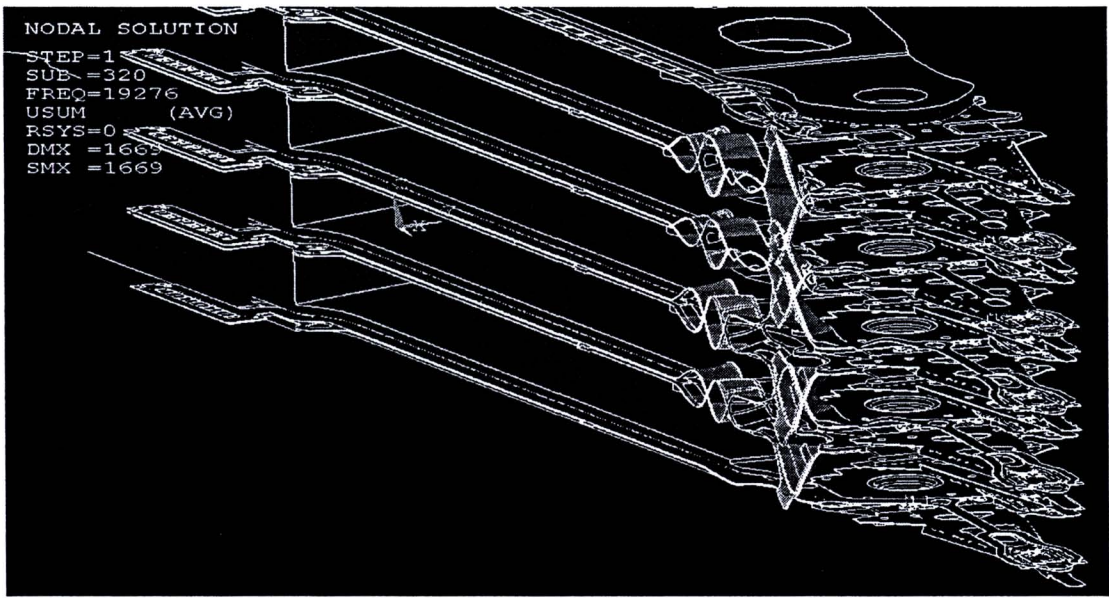
ภาพที่ 36 โหนดที่สอง Arm 1st Torsion +FOS bending at Elbow and End Frequency 7.452 kHz



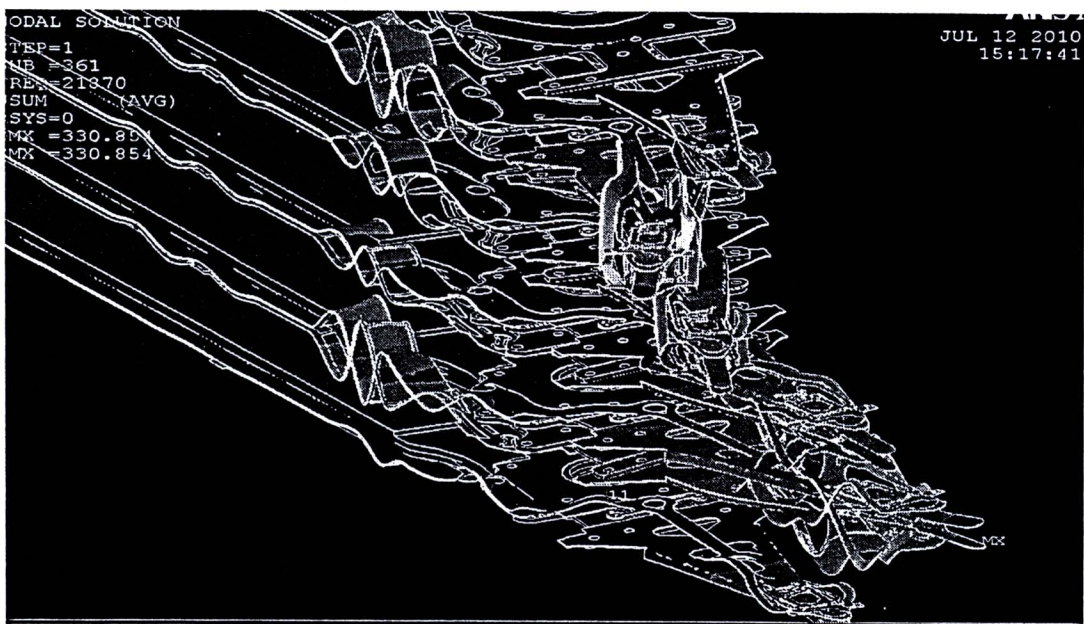
ภาพที่ 37 โหนดที่สาม Arm Torsion (Scissors) + FOS 2nd Bending at Elbow and Middle Frequency 8.882 kHz



ภาพที่ 38 โหนดที่สี่ 2nd HSA System mode Frequency 10.872 kHz

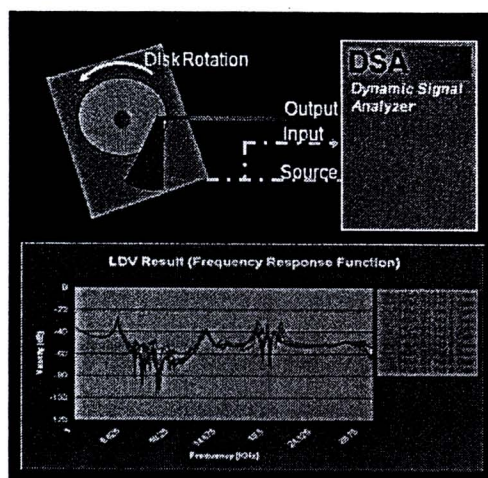


ภาพที่ 39 โหนดที่ห้า Higher order FOS tosion Frequency 19.276 kHz



ภาพที่ 40 โหมดที่หก HGA Sway Frequency 21.870 kHz

3.4 การเปรียบเทียบความถี่共振ชาติของแบบจำลองกับงานจริง

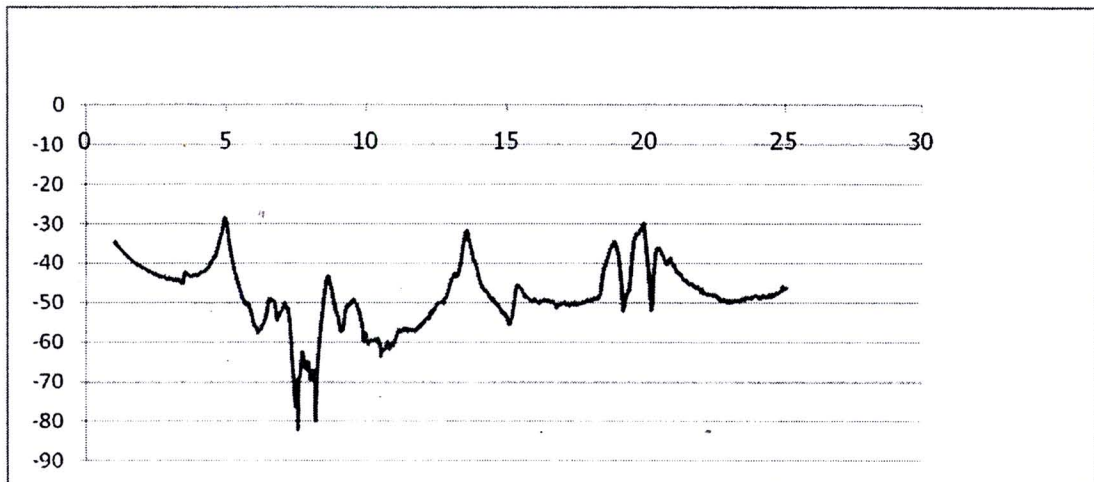


ภาพที่ 41 แสดงรูปแบบการวัดการสั่นสะเทือนของเครื่อง LDV

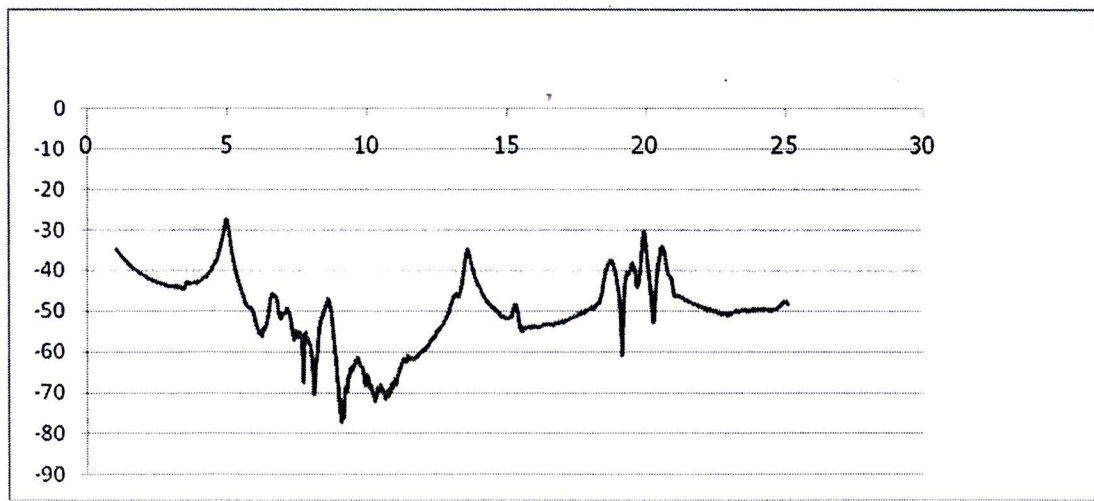
การวัดการสั่นสะเทือนจากชิ้นงานจริง ได้มีการวัดค่าการสั่นสะเทือนจาก หัวอ่าน/เขียนข้อมูลทั้งสิบหัว ด้วยเครื่อง Laser Doppler Vibrometer (LDV) โดยการวัดแบบจุดเดียว (Single-point) ทำได้โดยการป้อนกระแสไฟเข้าไปที่ขดลวดของชุดประกอบหัวอ่าน/เขียนเพื่อกระตุ้น

การสั่นสะเทือนของชุดประกอบหัวอ่าน/เขียน ให้แสดงการสั่นสะเทือนของความถี่ธรรมชาติในโโนมดต่างๆ ออกมานั่งค่าที่ได้สามารถแสดงเป็นกราฟ bode ของทั้งสิบหัวอ่าน/เขียน

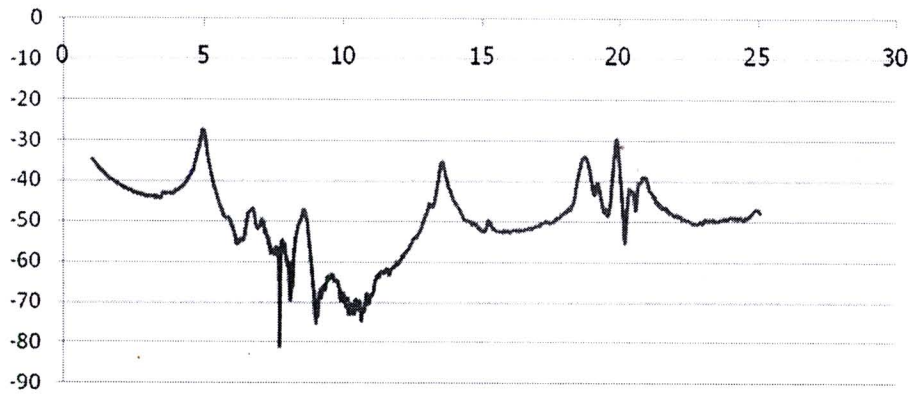
เมื่อคุณภาพที่ได้นั้นจะพบว่าการสั่นสะเทือนของชุดประกอบหัวอ่าน/เขียน ที่ได้ทั้งสิบหัวอ่าน/เขียน มีลักษณะการสั่นสะเทือนที่คล้ายคลึงกัน ดังแสดงในภาพที่ 42-51



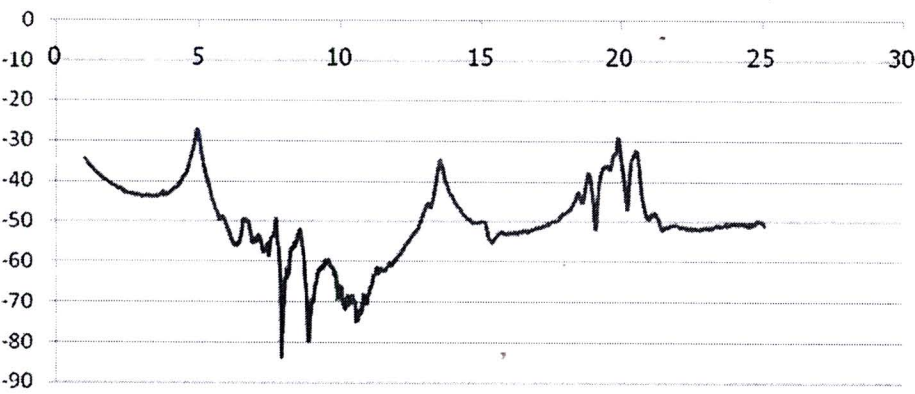
ภาพที่ 42 ภาพแสดงการสั่นสะเทือนที่วัดจากเครื่อง LDV ของหัวอ่านเขียนตัวที่ 1



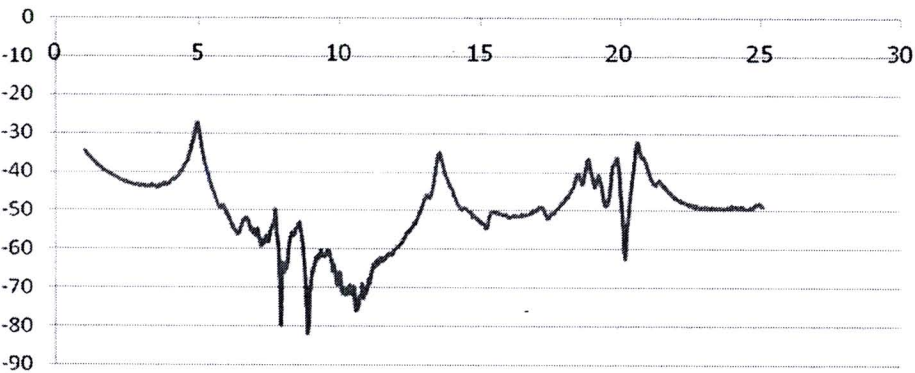
ภาพที่ 43 ภาพแสดงการสั่นสะเทือนที่วัดจากเครื่อง LDV ของหัวอ่านเขียนตัวที่ 2



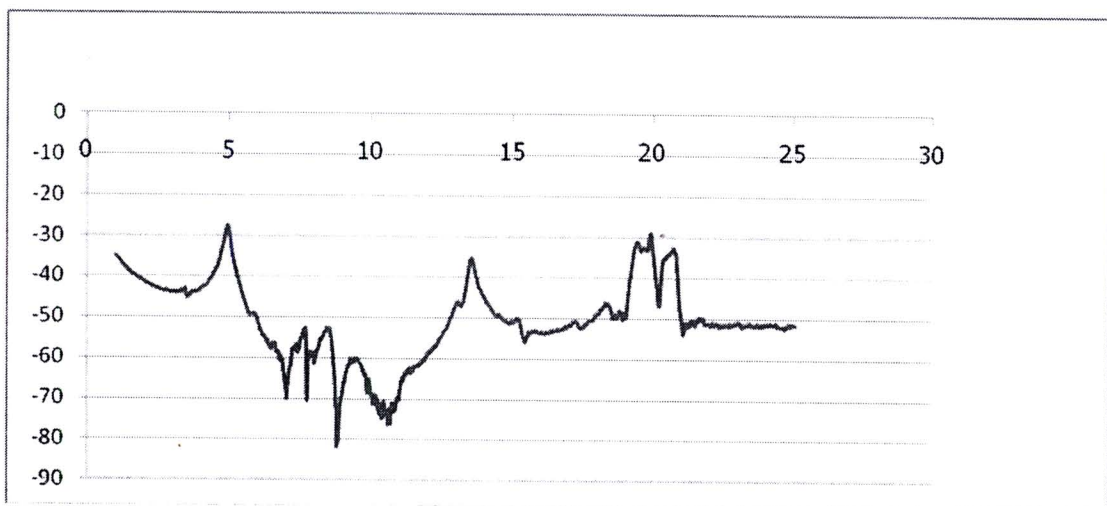
ภาพที่ 44 ภาพแสดงการสั่นสะเทือนที่วัดจากเครื่อง LDV ของหัวอ่านเขียนตัวที่ 3



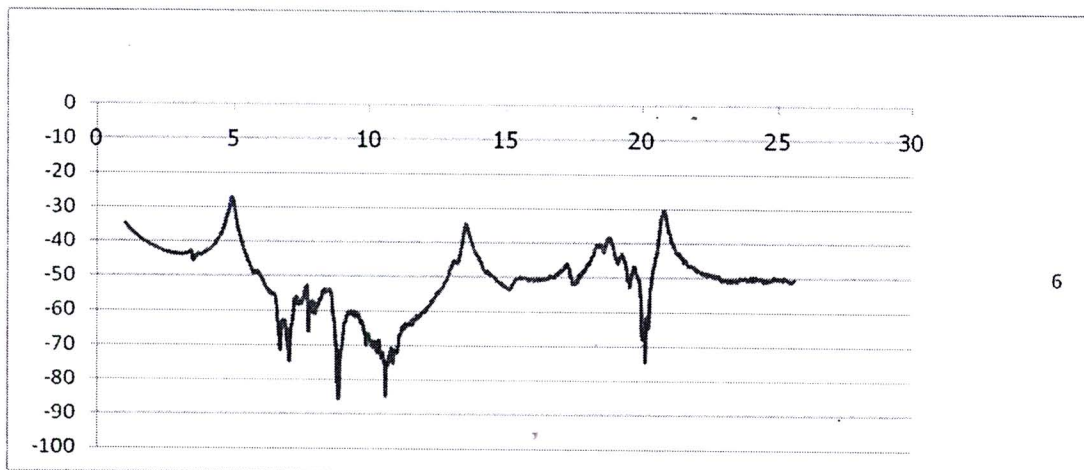
ภาพที่ 45 ภาพแสดงการสั่นสะเทือนที่วัดจากเครื่อง LDV ของหัวอ่านเขียนตัวที่ 4



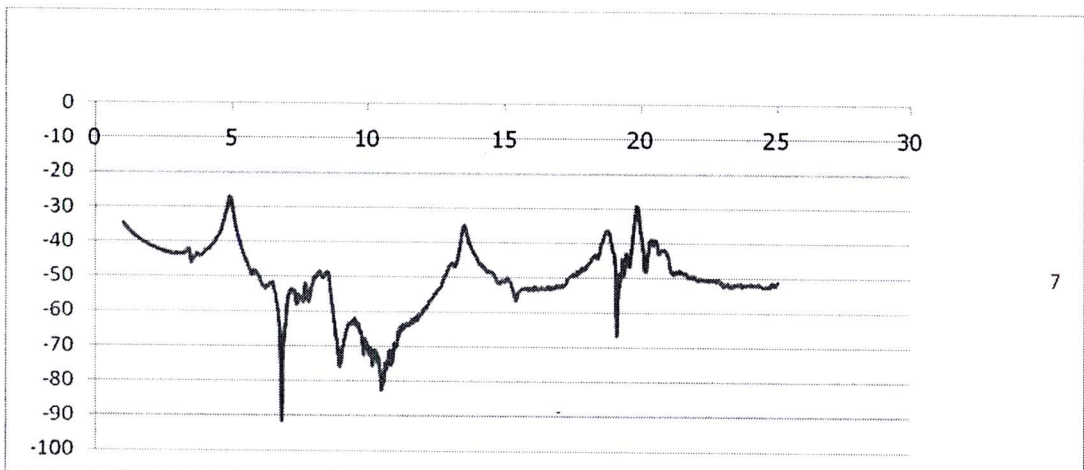
ภาพที่ 46 ภาพแสดงการสั่นสะเทือนที่วัดจากเครื่อง LDV ของหัวอ่านเขียนตัวที่ 5



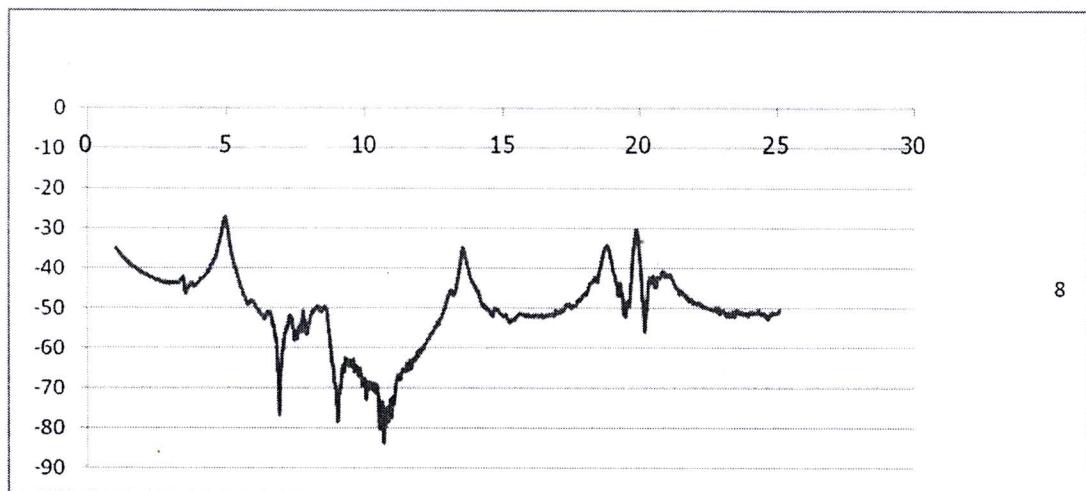
ภาพที่ 47 ภาพแสดงการสั่นสะเทือนที่วัดจากเครื่อง LDV ของหัวอ่านเขียนตัวที่ 6



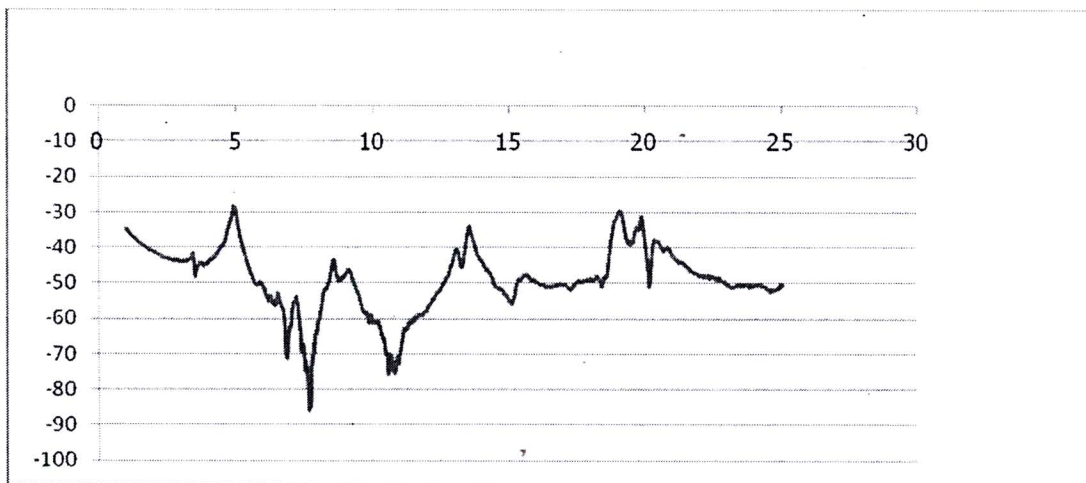
ภาพที่ 48 ภาพแสดงการสั่นสะเทือนที่วัดจากเครื่อง LDV ของหัวอ่านเขียนตัวที่ 7



ภาพที่ 49 ภาพแสดงการสั่นสะเทือนที่วัดจากเครื่อง LDV ของหัวอ่านเขียนตัวที่ 8



ภาพที่ 50 ภาพแสดงการสั่นสะเทือนที่วัดจากเครื่อง LDV ของหัวอ่านเขียนตัวที่ 9



ภาพที่ 51 ภาพแสดงการสั่นสะเทือนที่วัดจากเครื่อง LDV ของหัวอ่านเขียนตัวที่ 10

จากการเปรียบเทียบใหม่ค่าหลักๆ ของใหม่ของการสั่นสะเทือนที่ได้จากการวัดจากงานจริงโดยเครื่อง LDV และ กราฟของการสั่นสะเทือนที่ได้จากการเบี่ยงวิธีทางไฟไนท์ อิลิเมนท์ จะเห็นได้ว่าแบบจำลองทางไฟไนท์อิลิเมนท์ กับชิ้นงานจริง มีความถี่ธรรมชาติของแต่ละ ใหม่ค่าเท่าๆ กัน และมีแนวโน้มไปในทางเดียวกัน ซึ่งแสดงให้เห็นว่าแบบจำลองทางไฟไนท์ อิลิเมนท์ที่สร้างขึ้นนี้สามารถนำวิเคราะห์การสั่นสะเทือนแทนชิ้นงานจริงได้